

CAST-256 の差分解読

関 春樹 金子 敏信[†]

通信・放送機構 横浜リサーチセンター
〒221-0031 横浜市神奈川区新浦島町1-1-3 2 ニューステージ横浜

[†]東京理科大学 理工学部電気工学科
〒278-8510 千葉県野田市山崎 2641

E-mail: hseki@yokohama.tao.go.jp, [†]kaneko@ee.noda.sut.ac.jp

あらまし ブロック暗号 CAST-256 は CAST-128 を基本に設計され、AES Round 1 の候補として提案された。本論文では、9 quad-round の CAST-256 に対する差分解読について報告する。ラウンド関数の1つは、高確率の非零差分 → 零差分特性を持つ。弱鍵の場合には、この特性が暗号全体の差分解読に適用できる。9 quad-round の CAST-256 のサブ鍵 79 ビットが、 2^{123} 個の選択平文と、約 2^{100} の計算量で求められる。この時、弱鍵の存在する確率は 2^{-35} である。

キーワード ブロック暗号, CAST-256, 差分解読, AES

Differential Attack on CAST-256

Haruki SEKI Toshinobu KANEKO[†]

Telecommunications Advancement Organization of Japan
1-1-32 Shin'urashima-cho, Kanagawa-ku, Yokohama 221-0031 Japan

[†]Department of Electrical Engineering, Science University of TOKYO
2641 Yamazaki Noda, Chiba, 278-8510 Japan

Abstract An block cipher CAST-256 based on CAST-128 was a candidate algorithm for the AES Round 1. In this paper we present a differential attack on CAST-256 reduced to 9 quad-rounds. One of the three round functions of CAST-256 has differential characteristics, which a non-zero inputxor result in a zero outputxor, with high probability. We also show that CAST-256 has weak keys with respect to differential attack. Thus CAST-256 reduced to 9 quad-rounds can be attacked using 2^{123} chosen plaintexts in the case of differentially weak keys. The time complexity is about 2^{100} encryptions.

key words Block cipher, CAST-256, differential attack, AES

1 はじめに

C.M.Adamsはブロック暗号 CAST-256[1]をAES Round 1の候補として提案した。この暗号は64bit入出力のCAST-128[2]を基本に設計されている。即ち、CAST-128と同じ4種の 8×32 S-boxと、3種のラウンド関数を採用している。全体構造は、CAST-128がFeistel型に対して、CAST-256は入出力長を128bitに拡張するために Incomplete Feistel network 型としている[3]。Boomerang attackが、4 quad-roundのCAST-256の解読に適用されている[4]。本稿では9 quad-roundのCAST-256の差分攻撃について報告する。

差分攻撃はE.Biham等により提案され、多くの暗号に汎用的に適用出来る強力な攻撃法である[5]。攻撃の成否は高確率の差分特性が見つかるか否かによって決定される。特に、非零差分 \rightarrow 零差分となる特性をラウンド関数が持つ場合は、Activeなラウンドを少なくし、暗号全体での差分特性確率が大きくなる事が期待できる。DESやLOKI97等の暗号の解読に効果を発揮している[5, 6]。

本稿では、最初にCAST-256のラウンド関数の差分特性について述べる。CAST-256のラウンド関数は、異なる演算系を組合わせて使用しており、差分攻撃、線形攻撃に対する強度や、CAST familyの一部に適用された高階差分攻撃[7]に対する強度がXORのみを演算とした場合に比べ向上していると考えられている。しかし、差分攻撃に関する限り、必ずしも強度が向上していないことを示す。即ち、高確率の非零差分 \rightarrow 零差分特性が一部のラウンド関数で見つかった。これは、XORのみを用いた簡易型ラウンド関数では見つからなかったものである。ラウンド関数の持つこの様な差分特性の数が、randomに生成されたS-boxから構成されるラウンド関数において期待される数[8]に比べ多い事も示す。

次に、9 quad-roundのCAST-256に差分攻撃を適用した。ラウンド関数の持つ前記の差分特性を利用すると、鍵依存ローテーションの一部を省いた9 quad-roundのModified CAST-256の9 quad-round目の鍵の74ビットが、 2^{123} の選択平文と、約 2^{95} の計算量で求められる。また、オリジナルのCAST-256にもこの攻撃を拡張出来る。1~8 quad-roundの一部のラウンド関数の鍵依存ローテーション値が等しくなる鍵を弱い鍵と定義する。この場合には9 quad-roundのCAST-256のサブ鍵79ビットが、 2^{123} 個の選択平文と、約 2^{100} の計算量で求められる。9 quad-roundのCAST-256では 2^{-35} という高い確率でこの弱い鍵がある。

本稿の構成は以下である。第2節では、暗号アルゴリズムの概要を述べる。第3節では、ラウンド関数の差分特性について述べる。第4節では、暗号全体の差分解読について述べる。最後に第5節でまとめる。

2 CAST-256のアルゴリズム

図1に示すように全体は Incomplete Feistel network 構造[3]である。入出力ブロック長は128 bit、鍵長は128 ~ 256 bit、段数は12 quad-round(48 round)である。

S-box : CAST-256は4種の 8×32 S-box (S_1, S_2, S_3, S_4)を使っている。これらはCAST-128と同じものである。

ラウンド関数 : CAST-128と同じ3種のラウンド関数 f_1, f_2, f_3 を使っている。その基本構造を図2に示す。 k_m は32bitラウンド鍵、 k_r は5bitラウンド鍵である。

それぞれのラウンド関数は以下で定義される。ここで、 $I = I_a || I_b || I_c || I_d$ (I_a, I_b, I_c, I_d は8bitデータ)。

$$\begin{aligned} f_1(D, k_r, k_m): I &= (k_m + D) \lll k_r \\ O &= ((S_1[I_a] \oplus S_2[I_b]) - S_3[I_c]) + S_4[I_d] \end{aligned}$$

$$\begin{aligned} f_2(D, k_r, k_m): I &= (k_m \oplus D) \lll k_r \\ O &= ((S_1[I_a] - S_2[I_b]) + S_3[I_c]) \oplus S_4[I_d] \end{aligned}$$

$$\begin{aligned} f_3(D, k_r, k_m): I &= (k_m - D) \lll k_r \\ O &= ((S_1[I_a] + S_2[I_b]) \oplus S_3[I_c]) - S_4[I_d] \end{aligned}$$

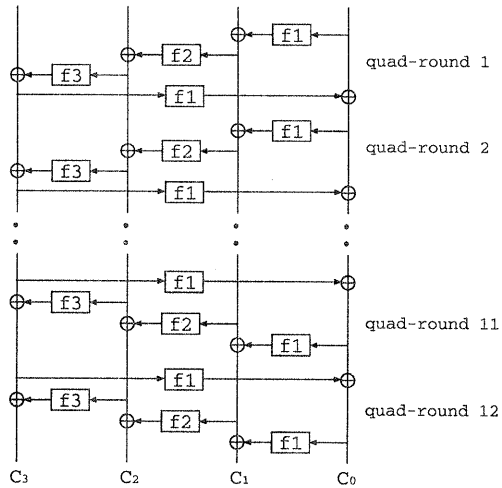


図 1: CAST-256 のアルゴリズム

Quad-round 関数 : 前半の第 i forward quad-round $\beta \leftarrow Q_i(\beta)$ は以下で定義される。ここで、 $\beta = A||B||C||D$ (A, B, C, D は 32bit データ)。

- $C = C \oplus f_1(D, k_{r_0}^{(i)}, k_{m_0}^{(i)})$
- $B = B \oplus f_2(C, k_{r_1}^{(i)}, k_{m_1}^{(i)})$
- $A = A \oplus f_3(B, k_{r_2}^{(i)}, k_{m_2}^{(i)})$
- $D = D \oplus f_1(A, k_{r_3}^{(i)}, k_{m_3}^{(i)}) \quad i = 1 \sim 6$

後半の第 i reverse quad-round $\beta \leftarrow \bar{Q}_i(\beta)$ も同様に定義される。

全体の暗号化 : $Enc = Q_1 \circ \dots \circ Q_6 \circ \bar{Q}_7 \circ \dots \circ \bar{Q}_{12}$

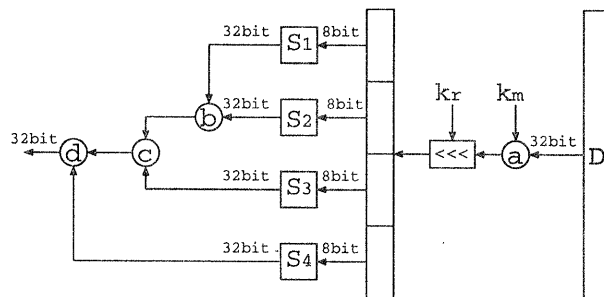


図 2: ラウンド関数

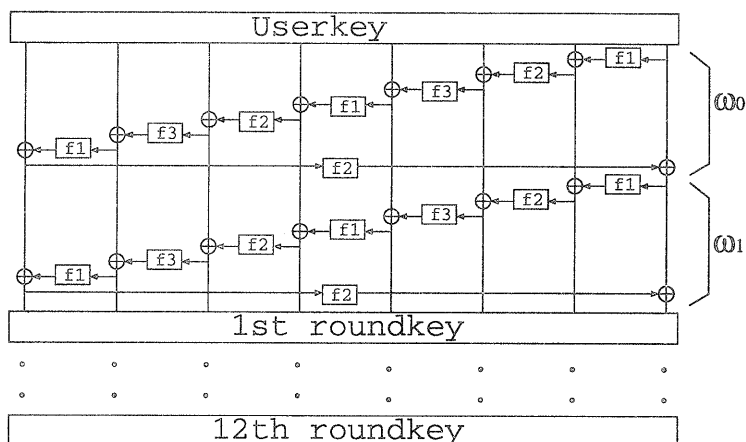


図 3: 鍵スケジュール

鍵スケジュール：図 3 に示す通りである。マスタ鍵 K を入力として暗号化と同じラウンド関数を使ってラウンド鍵が生成される。 A, B, C, D, E, F, G, H はそれぞれ 32bit データとし、 $\kappa = A\|B\|C\|D\|E\|F\|G\|H$ とする。この時、図中の一連の操作 $\omega_{2i-1}(\kappa)$ ($i = 1 \sim 12$) の出力から以下の様にラウンド鍵が生成される。ここで、5LSB は下位 5bit をデータとする処理である。

$$k_{r_0}^{(i)} = 5LSB(A), k_{r_1}^{(i)} = 5LSB(C), k_{r_2}^{(i)} = 5LSB(E), k_{r_3}^{(i)} = 5LSB(G)$$

$$k_{m_0}^{(i)} = H, k_{m_1}^{(i)} = F, k_{m_2}^{(i)} = D, k_{m_3}^{(i)} = B$$

3 ラウンド関数の差分特性

本節では、ラウンド関数の差分特性について述べる。各ラウンド関数は異なる演算系を組合わせて使用しており、差分攻撃、線形攻撃に対する強度や、5 段の簡易型 CAST-128 に適用された高階差分攻撃 [7] に対する強度が XOR のみを演算とした簡易型ラウンド関数に比べ向上していると考えられている。しかし、差分攻撃に関する限り、強度が必ずしも向上していないことを示す。

即ち、 f_2 ラウンド関数が 2^{-15} という高確率の $\alpha \neq 0 \rightarrow 0$ 特性を持っている。これを 3.1 に示す。

更に、 $\alpha \neq 0 \rightarrow 0$ 特性の数が、random に生成した S-box で構成されるラウンド関数において期待される数 [8] に比べ、多い事も 3.2 で示す。

3.1 $\alpha \neq 0 \rightarrow 0$ の確率

鍵依存ローテーションを省略したラウンド関数において、Active S-box 数が 2 の場合の $\alpha \neq 0 \rightarrow 0$ 特性を考える。

f_1, f_3 関数では、演算 a が +, - なので、高確率な特性を期待できないと思われる。そこで f_2 関数について調べた。Active S-box 数が 2 となる組み合わせ 6 通りの内、以下の 3 通りの組み合わせを調べた¹。

- f_2 関数の S_1, S_2, S_3 の何れか 2 個の組み合わせ 3 通り

¹残りの 3 通りの組み合わせについては計算量が大きい事から、今回は検討していない。今後の課題である。

以下に示す3つの $\alpha \neq 0 \rightarrow 0$ 特性が見つかった²。

$$\begin{aligned} f_2 \text{関数: } Prob\{0000e0f7_x \rightarrow 00000000_x\} &= 2^{-15} \\ Prob\{006a0069_x \rightarrow 00000000_x\} &= 2^{-15} \\ Prob\{00e300f7_x \rightarrow 00000000_x\} &= 2^{-15} \end{aligned}$$

CAST design procedure [9]に基づく最も簡単な仕様であるXORのみを演算としたラウンド関数では、Active S-box 数が2の場合は $\alpha \neq 0 \rightarrow 0$ 特性が見つからなかった。異なる演算系をラウンド関数に採用したためにかえてこの差分が生じてしまったといえる。

3.2 ラウンド関数で生じる $\alpha \neq 0 \rightarrow 0$ の数について

文献[8]ではxorテーブルの分布を、randomに生成したS-boxで構成される簡易型ラウンド関数(即ち、演算 a と鍵依存ローテーションを省略し、残りの演算 b, c, d が全てxor)について調べている。 $\alpha \neq 0 \rightarrow 0$ の数の期待値は、Active S-box 数が2となる6通りの全ての組み合わせを考えた時1.5個と見積もっている。1通り当たりでは0.25個である。

一方、 f_2 関数では3通りのS-boxの組み合わせで3個、即ち1通り当たりでは1.0個である。これは、文献[8]での期待値の約4倍と非常に多い出現率である³。表1に結果を纏める。

表 1: $\alpha \neq 0 \rightarrow 0$ の出現数比較 (Active S-box の組み合わせ1通り当たり)

出現個数	文献[8]の見積もり	CAST-256の f_2 関数
	0.25	1.0

差分攻撃に有利な $\alpha \neq 0 \rightarrow 0$ に関する限り、randomに生成したS-boxで構成されたラウンド関数に比べ改善されているとは言えない。

4 CAST-256の差分解読

本節では、9 quad-roundのCAST-256の差分解読について述べる。4.1では、鍵依存ローテーションの一部を除いた9 quad-roundのModified CAST-256で、 2^{123} 個の選択平文と、約 2^{95} の計算量で最終quad-roundの鍵の一部74ビットを求められる事を示す。4.2では、4.1の差分攻撃が適用できるという意味で弱い鍵がある事を示す。これらのdifferentially weak keyは 2^{-35} の確率で存在し、この場合 2^{123} 個の平文と、 2^{100} の計算量で最終quad-roundの鍵の一部74ビットとローテーション鍵5ビットが求められる事を示す。

4.1 Modified CAST-256の解読

最終quad-round以外の f_2 関数のみから鍵依存ローテーション($k_{r_1}^{(i)}, i = 1 \sim 8$)を除いたModified CAST-256を考える。

特性：

3.1で求めた f_2 ラウンド関数の $\alpha \neq 0 \rightarrow 0$ 特性の1つを用いると、次の1 quad-round繰り返し特性が実現出来る。

²入力値の組み合わせは、 S_1, S_2 で $(23_x, ad_x)$ と $(d4_x, 4d_x)$ 、 S_1, S_3 で $(e7_x, 26_x)$ と $(8e_x, 4c_x)$ 及び $(4b_x, 3f_x)$ と (bc_x, dc_x) 。

³加算や減算の場合の差分確率は、XORの場合に対して $\frac{1}{2}$ になる代わりに、生じる差分の数は2倍になる。それを加味しても出現率は大きくなっている。

$$\text{Prob}\{00000000000000000000e0f700000000_x \rightarrow 00000000000000000000e0f700000000_x\} = 2^{-15}$$

8 quad-round での差分特性確率は 2^{-120} となり、9 quad-round の Modified CAST-256 に 1 quad-round attack が適用出来る。

S/N比：

次で定義される S/N 比を計算する [5]。

$$S/N = \frac{2^k \times p}{\alpha \times \beta}$$

k = 解読対象の鍵ビット数
 p = 差分特性確率
 α = 1 ペアから推定される鍵数
 β = Wrong pair の排除後に解析対象ペアが残る確率

(1)

各値は以下になる。ここで k は最終 quad-round の f_1, f_2 関数のマスク鍵とローテーション鍵の合計である。

$$k = 74, \alpha = 2^{42}, \beta = 2^{-96}$$

これらを代入すると、 $S/N = p \times 2^{128} = 2^8$ が得られる。 S/N が大きい事から、選択平文が約 2^{123} (ペア数は 2^{122}) あれば最終 9 quad-round 目の f_1, f_2 関数の鍵 74bit を求める事が出来る。Wrong pair の排除後に $2^{123} \times 2^{-96} = 2^{27}$ 個の平文が残る。

鍵探索：

手順は以下である。

(1) f_1 関数の鍵候補 loop:

9 quad-round 目の f_1 関数の鍵 $k_{m_0}^{(9)}, k_{r_0}^{(9)}$ を $0 \sim 2^{37} - 1$ まで変化させ、以下の処理を繰り返す。

(2) 残った暗号文ペア loop:

排除後に残った 2^{26} 組の暗号文 $CT = CT_3 \| CT_2 \| CT_1 \| CT_0$, $CT' = CT_3 \| CT_2 \| CT_1 \oplus 0000e0f7_x \| CT_0$ の全てに対して、以下の処理を繰り返す。

(3) f_1 関数出力候補計算:

出力候補 Z_1 を $f_1(CT_0, k_{r_0}^{(9)}, k_{m_0}^{(9)})$ により計算する。

(4) f_2 関数の入力候補計算:

入力候補ペア Y_2, Y_2' を以下で計算する。

$$Y_2 = Z_1 \oplus CT_1, \quad Y_2' = Z_1 \oplus CT_1 \oplus 0000e0f7_x$$

(5) f_2 関数の鍵候補 loop:

9 quad-round 目の f_2 関数の鍵 $k_{m_1}^{(9)}, k_{r_1}^{(9)}$ を $0 \sim 2^{37} - 1$ まで変化させ、以下の処理を繰り返す。

(6) f_2 関数出力候補計算:

f_2 関数の出力候補 Z_2 と Z_2' を $f_2(Y_2, k_{r_1}^{(9)}, k_{m_1}^{(9)})$ と $f_2(Y_2', k_{r_1}^{(9)}, k_{m_1}^{(9)})$ で計算する。

(7) 鍵カウント:

次式が成り立つ場合は、 $k_{m_1}^{(9)}$ と $k_{r_1}^{(9)}$ の鍵値のカウントを1増やす。

$$Z_2 \oplus CT_2 = Z_2' \oplus CT_2'$$

カウント値が4であれば、この時の鍵を採用して処理を終了する。

メモリ量と計算量:

必要なメモリ量と計算量は次の様になる。

メモリ: 約 2^{37} バイト。

フェーズ(7)で使う $k_{m_1}^{(9)}, k_{r_1}^{(9)}$ の鍵カウンタテーブルのために 2^{37} バイト。

計算量: 約 2^{95} の暗号化処理。

フェーズ(6)の計算量が殆ど。平均で $2^{37} \times 2^{27} \times 2^{37} / 2 = 2^{100}$ の f_2 の計算。9 quad-roundのCAST-256は $9 \times 4 = 36$ 回のラウンド関数計算と等価である。よって、この攻撃は平均で 2^{95} の暗号化処理となる。

4.2 CAST-256の解読

Differentially weak keys:

8 quad-round までの8個の f_2 関数の鍵ローテーション値 $k_{r_1}^{(i)}$ ($i = 1 \sim 8$)が全て等しく k_{r_1} であれば、次の1 quad-round 繰り返し特性が実現出来る。

$$\begin{aligned} 00000000_x \| 00000000_x \| 0000e0f7_x \ggg k_{r_1} \| 00000000_x \rightarrow \\ 00000000_x \| 00000000_x \| 0000e0f7_x \ggg k_{r_1} \| 00000000_x \end{aligned}$$

このような条件が成り立つ鍵を Differentially weak keys と定義する。Differentially weak keys が生じる確率は 2^{-35} である⁴。

差分解読:

Differentially weak keys が成り立っているとす。攻撃は以下の手順で行われる。

(1) 平文の収集:

平文の第2ワードの32bitが相異なる値を持ち、他の3ワードの96bitが固定された 2^{32} 個の平文の集合を集める。これを structure と呼ぶ事にする。 2^{91} 個の structure(2^{123} 個の平文)を集めて、以下の処理を行う。

(2) k_{r_1} の候補 i のloop($i = 0 \sim 31$):

第2ワードの32bitの差分が $0000e0f7_x \ggg i$ となる平文ペアを集める。1つの structureは 2^{31} 個のペアを、そして 2^{91} 個の structureは 2^{122} 個のペアを生成出来る。

(3) 鍵探索:

4.1で示した攻撃を実行する。カウント値が4の鍵値があれば、それを採用し攻撃を終了する。

平均で k_{r_1} の候補 i の16通りについて上記の処理を行えば、9 quad-round 目の f_1 と f_2 の鍵74bitと5bitの k_{r_1} を求める事が出来る。以上から、 $2^{-35} \times 2^{\text{鍵ビット数}}$ の鍵空間については、 2^{123} 個の平文があれば、約 2^{100} の計算量で攻撃が成功する。

⁴実験値はこれを裏付けた。

CAST-128 との比較

上で述べてきた差分解析を CAST-128 へ適用する。CAST-128 は 16 段の Feistel 構造である。各ラウンドは f_1, f_2, f_3 ラウンド関数を順番に使用している。そのため f_2 ラウンド関数の $\alpha \neq 0 \rightarrow 0$ 特性を用いた 2 round 繰り返し特性が繋がらず、5 段程度の解析しか出来ない⁵。このことから、CAST-128 の差分攻撃に対する強度が、CAST-256 にうまく引き継げたと必ずしも言えない。

5 まとめ

本稿では 9 quad-round の CAST-256 の差分攻撃について報告した。

まず、差分攻撃に対するラウンド関数の強度について述べた。3 種のラウンド関数の内の 1 つ f_2 関数では、XOR のみを演算として用いた簡易型ラウンド関数では見つからなかった非零差分 \rightarrow 零差分が生じている。その差分確率は 2^{-15} という高い値になっている。又、非零差分 \rightarrow 零差分の出現する数が、random に生成した S-box で構成されたラウンド関数で期待される値 [8] に比べ 4 倍程度大きくなっている。以上の点から、ラウンド関数に異なる演算系を使用した事が必ずしも差分攻撃に対する改善になっていないと言える。

次に、ラウンド関数の結果を用いて、9 quad-round の CAST-256 に差分攻撃を適用した。Differentially weak keys が 8 quad-round の CAST-256 では、 2^{-35} という高い確率で生じる。この様な鍵の場合、 2^{123} の平文と、約 2^{100} の計算量で 9 quad-round 目のサブ鍵の一部 74bit と 5bit ローテーション鍵が求まる。

また、CAST-128 の差分攻撃に対する強度が、CAST-256 に必ずしも引き継げたと出来ない事も示した。

参考文献

- [1] C.M.Adams, "<http://www.nist.gov/aes/>,"
- [2] C.M.Adams, "*The CAST-128 Encryption Algorithm*," RFC 2144, May 1997.
- [3] B.Shneier, J.Kelsey, "*Unbalanced Feistel Networks and Block Cipher Design*," Fast Software Encryption, Feb. 1996, LNCS 1039, Springer, pp.121-144.
- [4] D.Wagner, "*The Boomerang Attack* ", Fast Software Encryption, March 1999, LNCS 1636, Springer, pp.156-170.
- [5] E.Biham, A.Shamir, "*Differential Cryptanalysis of DES-like Cryptosystems* ", Journal of Cryptology, Vol.4, No.1, pp.3-72, 1991.
- [6] V.Rijmen, L.R.Knudsen, <http://www.adfa.oz.au/lpb/research/loki97/>
- [7] S. Moriai, T. Shimoyama, T. Kaneko, "*Higher Order Differential Attack of a CAST Cipher*," Fast Software Encryption, March 1998, LNCS 1372, Springer, pp.17-31.
- [8] J. Lee, H. Heys, S. Tavares, "*Resistance of a CAST-like Encryption Algorithm to Linear and Differential Cryptanalysis*," Designs, Codes and Cryptography, vol. 12, no. 3, 1997, pp.267-282.
- [9] C.M.Adams, "*Constructing Symmetric Ciphers Using the CAST Design Procedure*," in Selected Areas in Cryptography, E. Kranakis and P. Van Oorschot (ed.), Kluwer Academic Publishers, 1997, pp.71-104.

⁵但し、3 round 繰り返し特性については調査していないので、存在するかもしれない